

ПРОГРЕВ ИЗДЕЛИЙ ИЗ УГЛЕРОДИСТОЙ СТАЛИ В УСЛОВИЯХ
СОВМЕСТНОГО ЛУЧИСТОГО И КОНВЕКТИВНОГО
ТЕПЛООБМЕНА

А. А. ТОРЛОПОВ

(Представлена кафедрой котлостроения и котельных установок)

Характерной особенностью слитков и заготовок из углеродистой стали при их нагреве до высоких температур является наличие структурных превращений в зоне критических температур ($A_{\gamma_1} \div A_{\gamma_2}$). Во время протекания перлитного превращения в стали появление температуры в ней прекращается и при дальнейшем нагреве подъем температуры будет замедленным в связи с затратой теплоты на растворение феррита.

Влияние теплового эффекта структурных превращений на динамику нагрева стальных изделий можно приближенно учесть изменением удельной теплоемкости в зоне критических температур.

В работе [1] с учетом экспериментальных данных для углеродистой стали даны обобщенные зависимости теплофизических характеристик λ и C от температуры. Нами эти зависимости были приняты за основу при решении задачи нагрева слитков и заготовок в пламенных печах с постоянной во времени температурой среды.

Задача прогрева стальных изделий в форме неограниченной пластины и цилиндра в условиях лучисто-конвективного теплообмена и зависимости термических коэффициентов от температуры математически формулируется следующим образом:

дифференциальное уравнение теплопроводности

$$C(\Theta) \frac{\partial \Theta}{\partial F_o} = \frac{\partial}{\partial X} \left[\Lambda(\Theta) \frac{\partial \Theta}{\partial X} \right] + \frac{k}{X} \Lambda(\Theta) \frac{\partial \Theta}{\partial X}, \quad (1)$$

где k равно 0 и 1 соответственно для пластины и цилиндра, краевые условия

при $X = 1$

$$\Lambda(\Theta) \frac{\partial \Theta}{\partial X} = Sk \left[1 - \Theta^4 + \frac{Bi}{Sk} (1 - \Theta) \right], \quad (2)$$

при $X = 0$

$$\frac{\partial \Theta}{\partial X} = 0, \quad (3)$$

при $F_o = 0$

$$\Theta = \Theta_0. \quad (4)$$

В указанных условиях решение было получено методом сеток [2] с использованием соотношений, приведенных в работе [3], где показано условие устойчивости и метод проверки погрешности принятой численной схемы расчета.

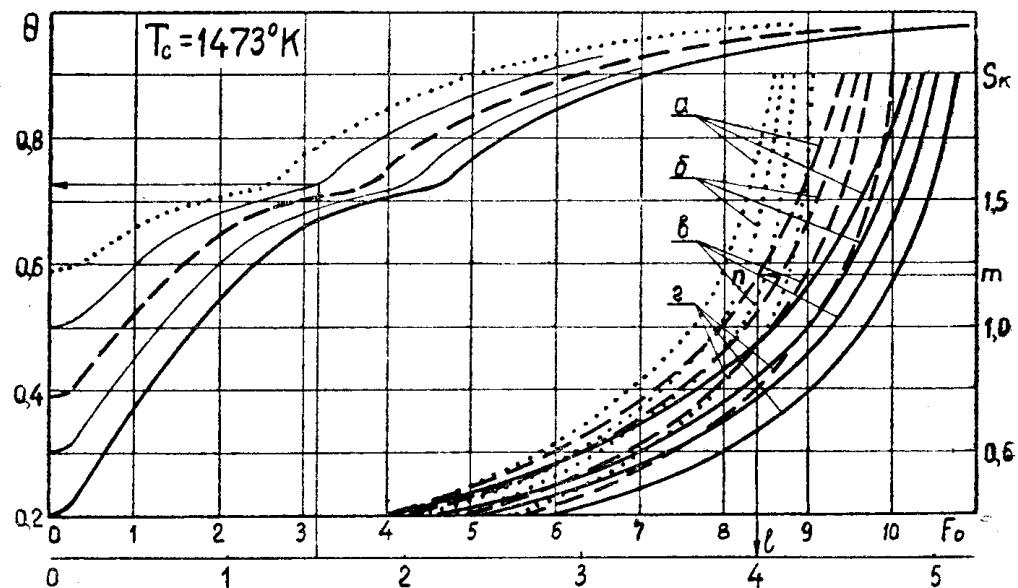


Рис. 1. Зависимость относительной температуры средней плоскости пластины от величины критерия Fo и режимных параметров нагрева

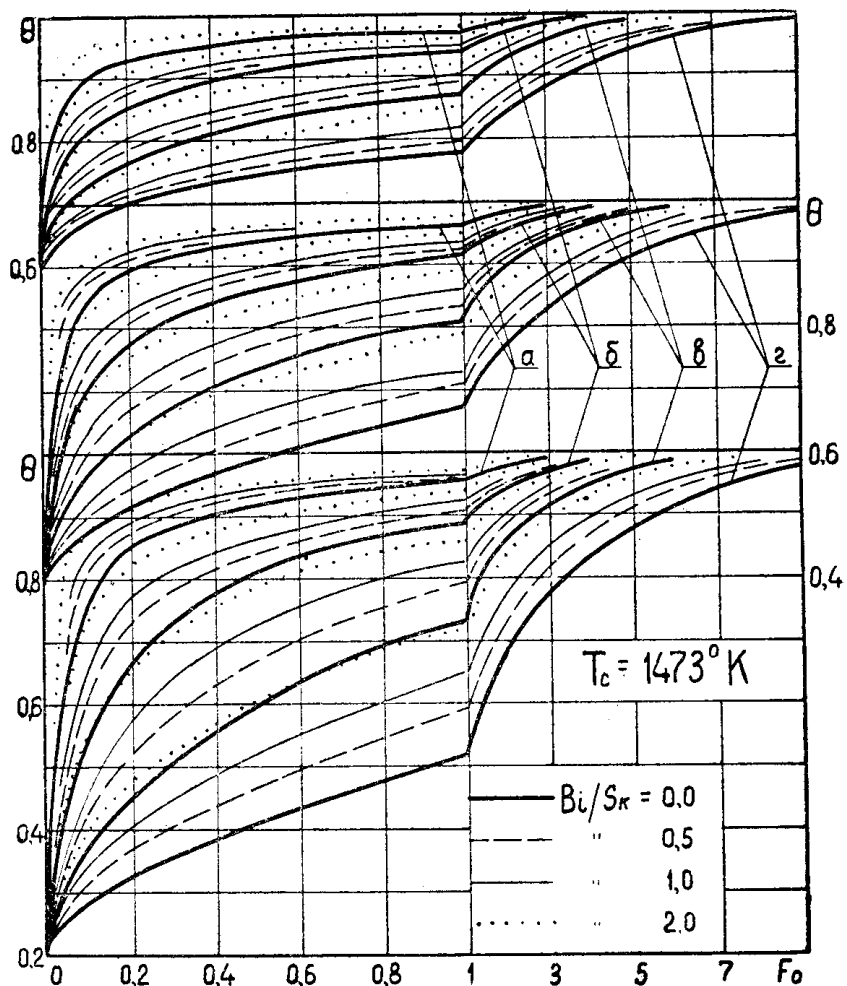


Рис. 2. Зависимость относительной температуры поверхности пластины от величины критерия Fo и режимных параметров нагрева.
a — $Sk = 2$, б — 1, в — 0.5, г — 0.25

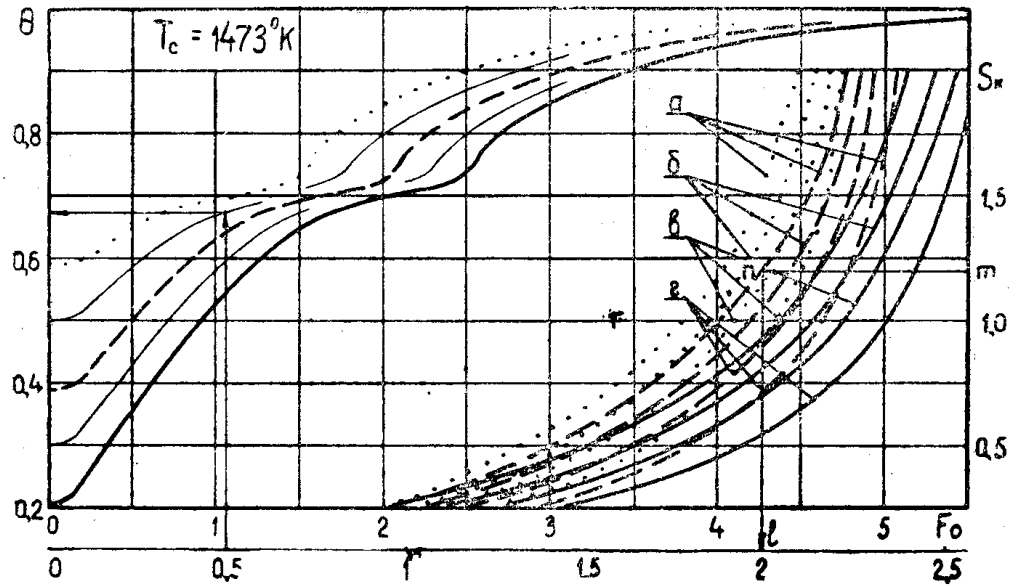


Рис. 3. Зависимость относительной температуры центра цилиндра от величины критерия Fo и режимных параметров нагрева

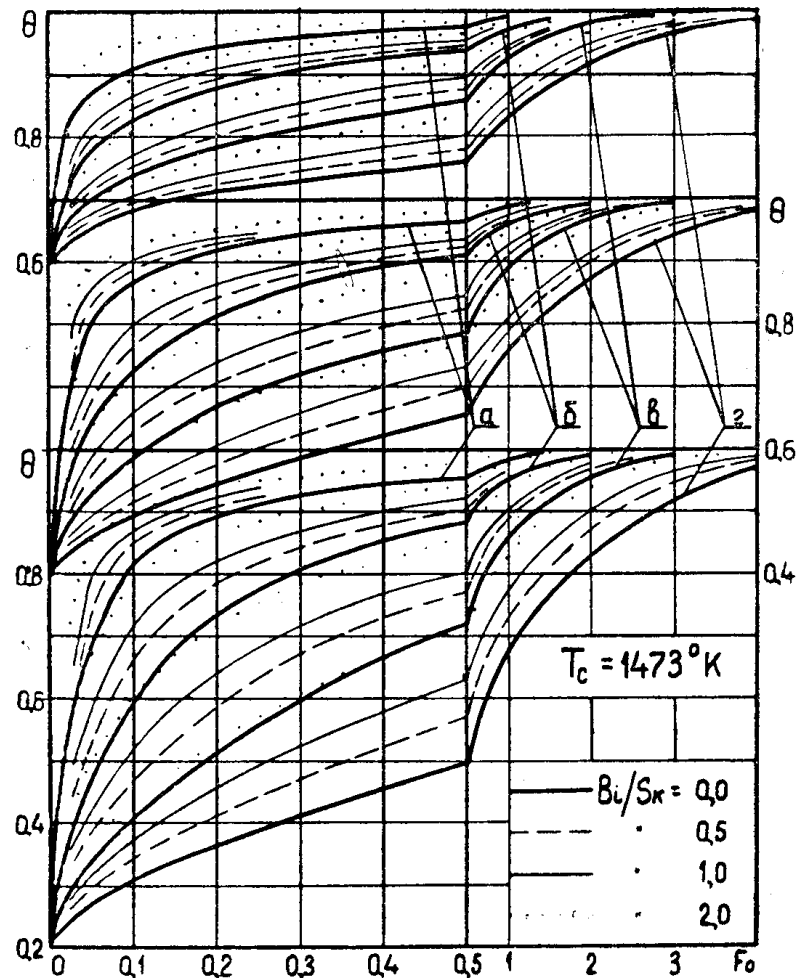


Рис. 4. Зависимость относительной температуры поверхности цилиндра от величины критерия Fo и режимных параметров нагрева. $a — Sk = 2$, $b — 1$, $c — 0,5$, $d — 0,25$

Численные результаты решения системы (1) – (4) получены в широких пределах изменения режимных параметров нагрева с применением электронно-вычислительной машины «Минск-1».

Часть полученного числового материала сведена в графики, представленные на рис. 1, 2, 3, 4.

На рис. 1 и 3 приведены зависимости относительной температуры центра пластины и цилиндра от величины критерия Fo при значении критерия $Sk=0,25$, отношения $Bi/Sk=0$ и различном задании Θ_0 . Для случаев, когда значения критерия Sk и отношение Bi/Sk отличны от указанных выше значений, необходимо использовать кривые, расположенные в правой части графиков. Эти кривые определяют масштаб времени в зависимости от величины критерия Sk и отношения Bi/Sk . Причем для пластины они построены при значении критерия $Fo=4$, а для цилиндра — 2 и имеют одинаковый вид с кривыми зависимости относительной температуры центра изделия от величины критерия Fo , к которым они относятся.

Ключ к графикам показан для случая, когда величина критерия $Sk=1,2$, отношение $Bi/Sk=0,5$, $\Theta_0=0,5$ и значения критерия $Fo=1,5$ для пластины $Fo=0,5$ для цилиндра. По оси ординат складываем величину критерия Sk (точка m), затем с помощью интерполяции по значениям Bi/Sk и Θ_0 находим точку n , сносим последнюю на ось абсцисс (точка 1) и, зная, что масштабные кривые построены только для значения критерия $Fo=4$ и 2 соответственно для пластины и цилиндра, градуируем ось времени в новом масштабе. Далее по величине критерия Fo и Θ_0 находим, как показано стрелками на графиках, значение относительной температуры в центре изделия.

На рис. 2 и 4 приведены зависимости относительной температуры поверхности пластины и цилиндра от величины критерия Fo при различных значениях критерия Sk , отношения Bi/Sk и Θ_0 . Пользование этими графиками не вызывает особых затруднений, если учесть, что для удобства интерполяции три различных (Θ_0) графика сведены в один.

В качестве сравнения сопоставим расчетные данные с опытными по нагреву кузнечной заготовки ≥ 100 мм из углеродистой стали (0,4% С) в камерной печи при температуре среды 1473°K [4].

Через 6 и 26 мин. по опытным данным температура центра заготовки достигает соответственно 788 и 1413°K , а по расчетным — 795 и 1422°K .

Обозначения:

$T(x, \tau)$ — температура, $^{\circ}\text{K}$;

T_c — температура греющей среды полагается постоянной в процессе нагрева, $^{\circ}\text{K}$;

$\Theta = \frac{T}{T_c}$ — относительная температура;

$Sk = \frac{\sigma_b T_c^3 R}{\lambda_0}$ — радиационный критерий Старка;

$Bi = \frac{\alpha R}{\lambda_0}$ — критерий Био.

ЛИТЕРАТУРА

1. А. В. Кавадеров, Ю. А. Самойлович. ИФЖ, № 1, 1960.
2. И. С. Березин, Н. П. Жидков. Методы вычислений, Физматгиз, 1959.
3. А. А. Торлопов, В. В. Саломатов. Известия ТПИ, т. 150, 1967.
4. В. Н. Соколов. Нагрев стали и печи, Сб. статей, № 19, 1949.